

1,16 для первого и 0,92—0,93 коп/(кВт·ч) для второго блоков. Себестоимость электроэнергии на втором блоке равна средней себестоимости электроэнергии тепловых электростанций такой же мощности в районе Урала, что обеспечило конкурентоспособность второго блока в сравнении с обычными тепловыми электростанциями [7, 9].

Поступила в Редакцию 9/VII 1975 г.

СПИСОК ЛИТЕРАТУРЫ

1. Доллежалъ Н. А. и др. В сб.: Труды II Женевской конф. 1958. Докл. сов. ученых. Т. 2, М., Атомиздат, 1959, с. 36.

2. Алещенков П. И. и др. «Атомная энергия», 1964, т. 16, с. 489.
3. Novick M. e.a. In: Proc. III Intern. Conf. Geneva, 1965, v. 6, p. 225.
4. Hoffmann F., Rickard C. Ibid., v. 5, p. 101.
5. Rennie C. A. e.a. Ibid., v. I, p. 318.
6. Доллежалъ Н. А. и др. III Женевская конф. 1964, докл. № 309.
7. Доллежалъ Н. А. и др. В сб.: Опыт эксплуатации АЭС и пути дальнейшего развития атомной энергетики. Т. 1. Обнинск, 1974, с. 149.
8. Доллежалъ Н. А. и др. «Атомная энергия», 1969, т. 27, вып. 5, с. 379.
9. Доллежалъ Н. А. и др. «Атомная энергия», 1974, т. 36, вып. 6, с. 432.

УДК 621.039.526:621.039.519.4

Некоторые физические исследования на быстрых критических сборках БФС-1

ДУЛИН В. А., КАЗАНСКИЙ Ю. А., МАМОНТОВ В. Ф., СИДОРОВ Г. И.

В настоящее время точность предсказания основных физических характеристик проектируемых быстрых реакторов еще недостаточна. В связи с этим системы ядерно-физических констант и методы расчета проверяют с помощью интегральных (макроскопических) экспериментов на быстрых критических сборках [1—4].

На последних критических сборках БФС-22; 23; 26; 27; 28; 30 проведен цикл работ по изучению точности расчета некоторых характеристик [5—7]. Были измерены центральные коэффициенты реактивности (ЦКР) основных делящихся элементов (^{235}U , ^{238}U , ^{239}Pu), а также элементов с хорошо известными сечениями поглотителей (^{10}B , ^{197}Au , ^6Li) и рассеивателей (^1H , ^{12}C , ^{23}Na , Pb). Измерялись отношение ценности рождающихся нейтронов к ценности поглощаемых нейтронов и отношения скоростей реакций ряда делящихся и поглощающих элементов. В критических сборках БФС-26; 27; 28; 30 определялись спектры нейтронов [8, 9]. Приведенные в настоящей работе результаты являются уточнением данных работы [7].

Результаты экспериментов сравнивались с расчетами, в которых использовалась 26-групповая система констант БНАБ-70 [2, 3]. В экспериментальные данные необходимо было внести поправки, связанные главным образом с конечными размерами образцов и гетерогенной струк-

турой критическихборок. Величины этих поправок определялись экспериментальным и расчетным путем. Анализ оцененных экспериментальных данных позволил выявить основные

Таблетки БФС-1

Таблица 1

Материал	Индекс	Толщина, мм
^{235}U	1	0,3
	2	5
UO_2^*	3	9,5
$^{239}\text{Pu}^{**}$	4	2,4
Na^{**}	5	10
C	6	10
	7	10
Сталь	8	5
	9	10
Al	0	5

* В оболочке из алюминия толщиной 0,3 мм.

** В оболочке из нержавеющей стали толщиной 0,3 мм.

причины расхождений между экспериментом и расчетом. Характер расхождения потребовал вполне определенных изменений макроконстант.

В настоящей работе кратко описаны критические сборки БФС, техника эксперимента, проверены методы введения поправок и даны основные экспериментальные результаты, а также результаты гомогенных расчетов.

Подробное описание установки БФС-1 приводилось ранее [10]. Критические сборки собираются из труб, в которых размещены таблетки конструктивных и делящихся материалов диаметром 46 мм. Толщина таблеток варьируется от долей миллиметра до 10 мм (табл. 1). Наличие таблеток ^{235}U малой толщины позволяло создавать критические сборки с разной гетерогенностью в центре активной зоны («гомогенные» вставки). Гомогенные вставки располагались в центре активной зоны и состояли из 57 ячеек (в 19 центральных трубках по три ячейки в каждой).

В табл. 2 приведен состав элементарных ячеек критическихборок. А — ячейка активной зоны, В — ячейка гомогенной вставки. Концентрации ^{235}U и ^{238}U в ячейках типа А и В хорошо известны (не хуже 0,5%) и отличаются между собой не более чем на 3%. В табл. 3 приведены гомогенные ядерные концентрации центральных частей активных зон. Остальные зоны и отражатель критическихборок более подробно описаны в работе [11].

Реактивность, вносимая образцом, определялась посредством измерения двух асимптотиче-

Гомогенные ядерные концентрации центральных вставок $\times 10^{21}$, ядер/см³

Таблица 3

Сборка	Ячейка	^{235}U	^{238}U	^{239}Pu	^{23}Na	^{12}C	^{61}O	Al	Сталь 1Х18Н9Т
БФС-22	А	1,44	7,76	—	7,29	—	10,5	2,48	14,5
БФС-23	А	—	6,47	1,07	7,29	—	13,0	1,93	16,9
БФС-26	В	1,21	0,14	—	—	28,8	—	12,5	20,9
БФС-27	В	1,57	0,18	—	7,67	24	—	6,57	3,95
БФС-28	В	2,32	6,34	—	—	—	12,3	29,4	—
БФС-30	В	2,30	6,30	—	6,63	—	12,12	9,3	3,14

Примечание. В критическихборках присутствуют следы водорода из-за наличия клея в чехлах натриевых и 5-мм урановых таблеток (см. табл. 1, индекс 2). Максимально возможные концентрации Н по отношению к концентрации ^{235}U составляют 3% в БФС-22; 1% в БФС-23 (по отношению к ^{239}Pu); 0% в БФС-26; 1% в БФС-27; 0% в БФС-28; 1% в БФС-30.

ских периодов реактора (с образцом и без него). Среднеквадратическая погрешность измерения (1–3) 10^{-7} $\Delta\text{K}/\text{K}$ при среднем разбросе в отдельном измерении $5 \cdot 10^{-7}$ $\Delta\text{K}/\text{K}$.

Для измерения спектральных отношений индексов делящихся элементов использовались камеры деления с ^{235}U , ^{239}Pu и камеры с природным ураном. Захваты в ^{197}Au регистрировались по остаточной γ -активности. Использовались методики калибровки в тепловой колонне.

Отношение $\langle\sigma_c^{197}\rangle/\langle\sigma_f^{239}\rangle$ измерялось также абсолютным методом. Абсолютная скорость захватов в золоте определялась с помощью техники β — γ -совпадений, а также путем определения полного числа взаимодействий в кристалле NaI(Tl). Абсолютное число деления измерялось камерой с известным числом ядер ^{239}Pu и экспериментально определенной эффективностью регистрации делений [12].

Отношение ценности нейтронов деления к ценности нейтронов, поглощаемых в золоте (Φ_x^+/Φ_c^+), определялось путем измерения реактивности ρ_c , вносимой образцом поглотителя (золота), и абсолютной скорости поглощений в золоте N_{sc} , а также псевдоактивности ρ_{cf}^+ источника спонтанных делений ^{252}Cf с известной абсолютной активностью [13]. Активность ^{252}Cf определялась несколькими методами, погрешность $\sim 0,6\%$.

Одна из целей экспериментов — изучение влияния гетерогенности критическихборок на измеряемые функционалы. Для этого на критическихборках БФС-26; 27; 28 и 30 были сделаны гомогенные вставки, которые позволяли, с од-

Состав элементарной ячейки

Таблица 2

Сборка	Ячейка	Индексы материалов *
БФС-22	А	35253553535253532535235
БФС-23	А	535435353453534535354353
БФС-26	В	6967692676967
	В	161018161018161018160181610118161018 608608608111111111111111111608608608
БФС-27	А	5656526565
	В	115116115116115116115116115116115 565651111111111111111111111116565
БФС-28	А	9392393
	В	111911131119111311191113
БФС-30	А	5352353
	В	111511131115111311151113 5551111111111111111111111333

* См. табл. 1, графа 2.

Сборка	Ячейка	²³⁵ U	²³⁹ Pu	⁶ Li	¹⁰ B	¹⁹⁷ Au	1H	¹² C	²³ Na	²⁰⁸ Pb
БФС-22	A	4,48±0,03	6,50±0,06	—	-4,93±0,40	-1,22±0,018	—	—	-0,0046±0,0020	—
БФС-23	A	6,05±0,06	8,4±0,13	—	-6,83±0,3	-1,8±0,02	—	—	—	—
БФС-26	V _{гет}	8,47±0,14	11,8±0,25	-10,6±0,25	—	-11,3	1,5±0,03	0,156±0,003	—	—
	V _{гом}	7,66±0,08	10,35±0,16	-8,45±0,2	-28,0±0,4	-8,88±0,3	2,1±0,07	0,174±0,006	—	—
БФС-27	V _{гет}	6,27±0,10	—	-6,45±0,15	-18,5±0,6	-6,22±0,16	2,22±0,06	—	—	—
	V _{гом}	6,2±0,1	9,30±0,16	-5,77±0,15	-16,8±0,6	-5,54±0,14	2,24±0,06	0,168±0,003	—	—
БФС-28	V _{гом}	8,15±0,04	12,9±0,1	-3,75±0,06	-7,90±0,19	-1,645±0,018	1,73±0,03	0,047±0,001	—	-0,056±0,005
БФС-30	V _{гет}	7,3±0,09	—	-3,76±0,08	-7,59±0,08	—	1,83±0,03	0,0703±0,004	—	-0,05±0,01
	V _{гом}	7,24±0,08	11,6±0,16	-3,69±0,09	-7,54±0,08	1,70±0,04	1,89±0,03	0,071±0,0015	0,0472±0,002	-0,056±0,005

Отношение средних сечений к сечению деления ²³⁹Pu и отношение $\langle \Phi_x^+ \rangle / \langle \Phi_C^+ \rangle$

Таблица 5

Сборка	Ячейка	²³⁵ U	¹⁹⁷ Au	²³⁸ U	$\langle \Phi_x^+ \rangle / \langle \Phi_C^+ \rangle$
БФС-22	A	1,00±0,02	0,30±0,01	—	0,97±0,03
БФС-23	A	1,03±0,02	0,37±0,01	0,0240±0,0005	—
БФС-26	V _{гет}	—	0,69±0,02	—	—
БФС-26	V _{гом}	1,03±0,02	0,60±0,02	0,0227±0,0005	0,765±0,025
БФС-27	V _{гет}	0,99±0,02	0,51±0,01	0,0300±0,0006	0,80±0,02
БФС-27	V _{гом}	0,98±0,02	0,49±0,01 (0,50±0,01)*	0,0322±0,0006	0,80±0,02
БФС-28	V _{гом}	0,915±0,020	0,207±0,005 (0,212±0,003)*	0,0341±0,0008	1,01±0,019
БФС-30	V _{гет}	0,91±0,02	0,220±0,005	0,0365±0,0008	—
БФС-30	V _{гом}	0,92±0,02	0,218±0,005 (0,222±0,003)*	0,0369±0,0007	0,88±0,015

* Отношение измерялось путем определения абсолютных скоростей захватов в золоте и делений в плутонии.

ной стороны, существенно уменьшить влияние гетерогенности, а с другой — измерить эффекты, обусловленные гетерогенизацией вставок (см. табл. 2). В табл. 4 и 5 даны результаты измерений в гомогенных и гетерогенных вставках. Из табл. 4 и 5 видно, что в некоторых случаях гомогенные вставки значительно изменяют измеряемые функционалы. Оценки влияния конечных размеров гомогенных вставок и величины гетерогенных эффектов в критических сборках БФС-22 и 23 будут даны позже. Другая цель экспериментов — учет конечных размеров образцов.

Существуют различные способы описания расчетных зависимостей эффектов от размеров об-

разца, основанные на том, что спектр нейтронов в образце отличается от спектра до помещения образца. Для нахождения среднего возмущения потока в образце следует учесть резонансное и нерезонансное поглощение нейтронов, их замедление в образце и размножение (в делящихся образцах). Резонансное поглощение учитывалось по приближению Вигнера [14] с использованием теоремы эквивалентности и коэффициентов резонансной самоэкранировки, принятых в системе БНАБ [2, 3].

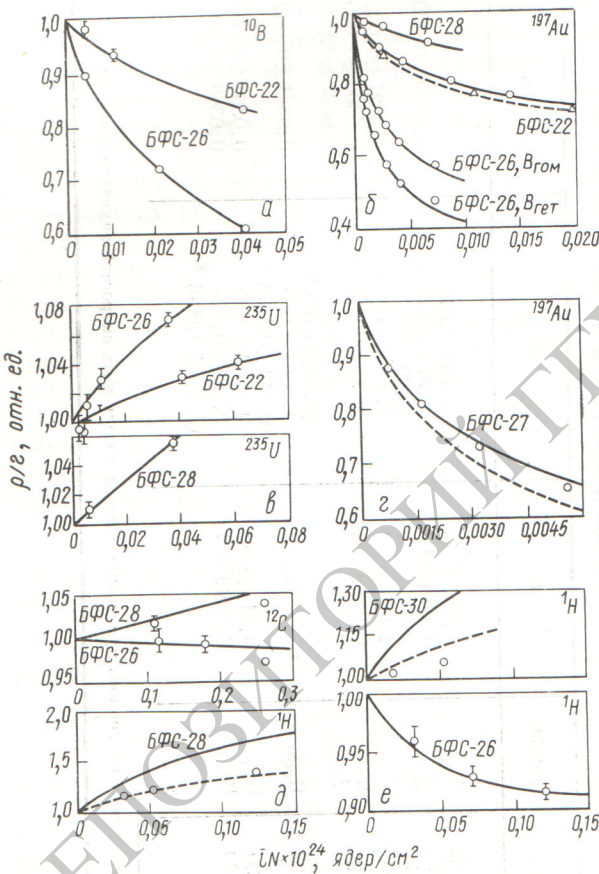
Возмущенный групповой поток нейтронов в образце можно определить как [15]

$$\Phi_j^i = \Phi_j \frac{[f_c^j(\sigma_0) \sigma_c^j + f_f^j(\sigma_0) \sigma_f^j] (\sigma_p^j + \sigma_0)}{(\sigma_c^j + \sigma_f^j) [f_f^j(\sigma_0) \sigma_f^j + f_e^j(\sigma_0) \sigma_e^j + f_e^j(\sigma_0) \sigma_e^j + \sigma_0]}$$

где $\sigma_c^j, \sigma_f^j, \sigma_e^j$ — средние групповые сечения захвата, деления и упругого рассеяния; f_c^j, f_f^j, f_e^j — соответствующие коэффициенты резонансной самоэкранировки; σ_p — потенциальные сечения рассеяния образца; N — плотность ядер в образце; $\sigma_0 = (lN)^{-1}$; l — средний размер образца. Замедление и размножение нейтронов также учитывалось [15]. Депрессия потока нейтронов вблизи образца учитывалась по методу, описанному в работе [16].

На рисунке представлены измеренные и рассчитанные реактивность и активация различных элементов. Точность расчета зависимости от размера образца обусловлена многими факторами: точностью знания групповых потоков и ценности нейтронов в критической сборке и коэффициентов резонансной самоэкранировки, правильностью модели описания и т. п. Поэтому формальный подход (без знания экспериментальной зависимости) может привести к ошибкам экстраполяции. Так, на рисунке (д и е) видно, что для БФС-26 расчетное описание зависимости является хорошим, а для БФС-28 и 30 расхождение весьма заметное. Как будет показано далее, значение реактивности водорода в БФС-28 и 30 плохо предсказывается расчетом. Изменения сечений, приводящие к таким изменениям потока и функции ценности нейтронов, которые уменьшают расхождение между экспериментом и расчетом самих коэффициентов реактивности водорода, способствуют лучшему описанию зависимости образца (пунктир на д и е) [7].

Таким образом, правильным описанием зависимости от размеров образца является итерационный процесс. Полученные результаты экстраполяции являются, на наш взгляд, надеж-



Зависимость удельной (на единицу массы) реактивности и активации образцов от их размеров:

а — — —, ○ — рассчитанная и экспериментальная реактивности; б — — —, ○ — рассчитанная и экспериментальная активации; в — — —, △ — рассчитанная и экспериментальная реактивности; г — — —, ○ — рассчитанная и экспериментальная активации; д — — —, ○ — расчет активации с увеличенной концентрацией натрия в критической сборке; е — — —, ○ — рассчитанная и экспериментальная реактивности; ж — — — расчет реактивности по измененной системе констант

Сравнение некоторых расчетных и экспериментальных результатов

Таблица 6

Материал	Сборка, ячейка					
	БФС-22	БФС-23	БФС-26	БФС-27	БФС-28	БФС-30
	А			В _{ГОМ}		
	$(\rho_i/\rho^{235})_{\text{экс}}/(\rho_i/\rho^{235})_{\text{расч}}$					
²³⁹ Pu	1,03	1,035	1,015	1,00	1,05	1,02
¹⁹⁷ Au	1,27	1,37	1,25	1,43	1,14	1,22
¹⁰ B	1,27	1,38	1,20	1,20	1,21	1,32
⁶ Li	—	—	1,16	1,12	1,00	1,01
¹ H	—	—	1,03	1,12	1,64	1,49
¹² C	—	—	1,11	1,08	4,7	1,85
²⁰⁸ Pb	—	—	—	—	—	1,0
²³ Na	0,33	—	—	—	—	3,8
²³⁸ U	—	1,08	—	—	—	0,82
	$((\sigma_i)/(\sigma_f^{235}))_{\text{экс}}/((\sigma_i)/(\sigma_f^{235}))_{\text{расч}}$					
²³⁹ Pu	1,02	1,03	1,12	1,09	1,06	1,03
¹⁹⁷ Au	1,17	1,15	1,18	1,29	1,10	1,17
²³⁸ U	—	0,99	1,03	0,85	0,94	0,89
	$((\Phi_{\text{экс}}^+)/(\Phi_{\text{расч}}^+))_{\text{экс}}/((\Phi_{\text{экс}}^+)/(\Phi_{\text{расч}}^+))_{\text{расч}}$					
—	0,915	—	1,02	1,01	1,01	0,97

калифорниевого источника, ошибок определения абсолютной скорости поглощений в образце золота, используемом при измерении ЦКР золота, и абсолютной активности калифорниевого источника нейтронов.

В табл. 6 проведено сравнение эксперимента и гомогенного расчета для отношений ЦКР и отношений средних сечений в центре реактора. Расчет выполнен в p_1 -приближении. Расхождения между расчетными и экспериментальными данными, как правило, превышают в несколько раз экспериментальные погрешности. Можно полагать, что наблюдаемые расхождения в значительной степени обусловлены неопределенностями в системе групповых констант. Для выявления константной составляющей погрешности необходимо учесть ограниченные размеры гомогенных вставок, остаточную гетерогенность, влияние погрешностей с усреднением сечений и т. п. Анализ причин наблюдаемых расхождений будет приведен во второй части работы.

Поступила в Редакцию 27/XI 1974 г.

ными с точки зрения интерпретации расхождения между экспериментом и расчетом.

В табл. 4 приведены экспериментальные ЦКР делящихся, поглощающих и рассеивающих элементов (в $\beta_{\text{эф}}$ /моль основного изотопа), экстраполированные к нулевому размеру образца согласно изложенному способу. Приведенные ошибки включают статистические ошибки и ошибки экстраполяции. Среднеквадратические погрешности измерений указаны на рисунке. Как правило, для образцов наименьших размеров они не превышали 1—1,5%.

В отношениях сечений (см. табл. 5) статистические ошибки не превышали 0,5%, ошибки опорных констант 0,5%, погрешности в изотопном составе природного урана 0,5%, ошибки интегрирования по ячейке 1—1,5%*.

Ошибки в $(\Phi_{\text{экс}}^+)/(\Phi_{\text{расч}}^+)$ состоят из ошибок отношения ЦКР золота и псевдореактивности

* Интегрирование проводилось либо путем помещения в межтрубный зазор образцов с длиной, равной длине ячейки (или перемещением меньших по длине образцов), либо путем использования дисков с диаметром, равным диаметру таблеток БФС.

СПИСОК ЛИТЕРАТУРЫ

1. Drake M. Data Formats and Procedure for the ENDF Neutron Cross Section Library. BNL-5027, 1970.
2. Абагян Л. П. и др. Групповые константы для расчета ядерных реакторов. М., Атомиздат, 1964.
3. Abagyan L. e.a. In: Proc. IAEA Symp. «Nuclear Data for Reactors — 1970». Helsinki, 15—19 June 1970, v. II, p. 667.
4. Rowlands J. e.a. In: Proc. of Intern. Symp. on Physics of Fast Reactors. Tokyo, 16—19 Oct. 1973, rep. A-30, A-33, B-2.
5. Воропаев А. И. и др. Препринт ФЭИ-247. Обнинск, 1971.
6. Дулин В. А. и др. Препринт ФЭИ-313. Обнинск, 1972.
7. Doolin V. e.a. [4], rep. A-26.
8. Kazanskii Ju. e.a. [4], rep. B-19.
9. Лейпунский А. И. и др. «Атомная энергия», 1974, т. 36, вып. 1, с. 3.
10. Бондаренко В. В. и др. «Атомная энергия», 1968, т. 24, вып. 1, с. 82.
11. Орлов В. В. и др. Препринт ФЭИ-306. Обнинск, 1972.
12. Doolin V., Mozhaev V. «Nucl. Instrum. and Methods», 1972, v. 105, p. 277.
13. Дулин В. А. и др. Препринт ФЭИ-422. Обнинск, 1973.
14. Дреснер Л. Резонансное поглощение в ядерных реакторах. М., Госатомиздат, 1962, с. 67 и 77.
15. Дулин В. А., Мамонтов В. Ф. Препринт ФЭИ-392. Обнинск, 1973.
16. Бекурц К., Виртц К. Нейтронная физика. М., Атомиздат, 1968.